

расчетов при помощи такой сложной модели вызывает ряд трудностей.

Однако при некоторых условиях, когда существенные частоты (частоты собственных колебаний системы и частота периодических воздействий) значительно отличаются от частот собственных колебаний контуров, состоящих из гидроаппаратов и гидролиний, задачу можно упростить. В этом случае можно путем анализа частотных характеристик гидросистемы выявить наиболее существенные факторы, влияющие на динамические характеристики, при помощи которых можно с достаточной для практических целей точностью определить запас устойчивости привода [2]. Тогда система уравнений может быть представлена в виде структурной схемы линеаризованной модели замкнутой гидромеханической системы привода (рис. 2). Из структурной схемы следует, что гидромеханическая система представляет собой замкнутую динамическую систему, образованную двумя звенями — гидросистемой с передаточной функцией $W_{rc}(s) = F(s)/v(s)$ и эквивалентной механической системой с передаточной функцией $W_{mc}(s) = v(s)/F(s)$.

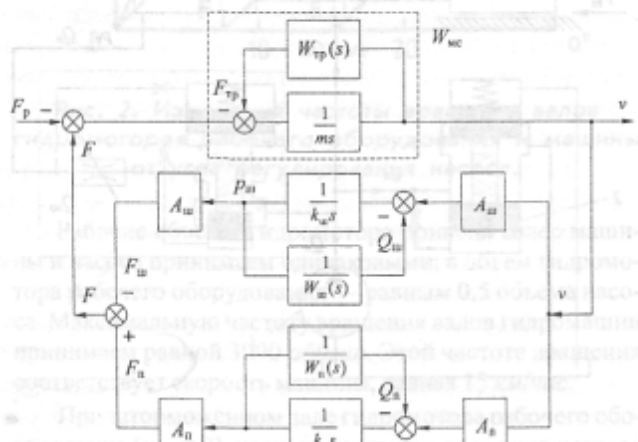


Рис. 2. Структурная схема гидромеханической системы привода стола.

При переходе к относительным координатам и изображениям по Лапласу передаточная функция гидросистемы в операторной форме примет вид (s — оператор Лапласа)

$$W_{rc}(s) = \frac{A_n^2}{W_n(s)} - \frac{A_w^2}{W_w(s)}, \quad (1)$$

где A_n и A_w — площади поршня в поршневой и штоковой полостях гидроцилиндра ($A_n = 2A_w$); $W_n(s)$ — передаточная функция между давлением и расходом рабочей жидкости в поршневой полости гидроцилиндра, определяемая динамическими характеристиками гидроаппаратов и трубопроводов, подключенных к поршневой полости;

$W_w(s)$ — передаточная функция между давлением и расходом рабочей жидкости в штоковой полости гидроцилиндра, определяемая динамическими характеристиками гидроаппаратов и трубопроводов, подключенных к штоковой полости; $k_n = V_n/E_{n0}$ и $k_w = V_w/E_{w0}$ — коэффициенты упругости поршневой и штоковой полости гидроцилиндра; V_n и V_w — объемы поршневой и штоковой полости гидроцилиндра; E_{n0} и E_{w0} — модуль упругости рабочей жидкости в штоковой и поршневой полости при исходном давлении p_0 .

Вследствие пренебрежения волновыми процессами в трубопроводах инерционность потока и сжимаемость рабочей жидкости в них рассматриваются как сосредоточенные параметры и могут быть приведены к полостям гидроцилиндра в соответствии с выражениями

$$V_n = 0,5A_n l_{tu} + a_{tu} l_{tw},$$

$$V_w = 0,5A_w l_{tu} + a_{tw} l_{tw},$$

$$m_{жпр} = \frac{\rho}{3} \left(\frac{A_w^2 l_{tw}}{a_{tw}} + \frac{A_n^2 l_{tu}}{a_{tu}} \right),$$

где l_{tu} — длина хода поршня гидроцилиндра; a_{tu} и l_{tw} — площади сечения и длина трубопроводов штоковой полости; a_{tw} и l_{tw} — площади сечения и длина трубопроводов поршневой полости; ρ — плотность рабочей жидкости.

Жесткость гидроцилиндра определяется главным образом сжимаемостью двухфазной (жидкостно-воздушной) смеси, наполняющей его полости. Общий объем смеси состоит из объема рабочей жидкости V_w и объема нерастворенного воздуха V_b . Воздушные включения (пузырьки воздуха) существенно снижают значение объемного модуля упругости чистой рабочей жидкости $E_{ж}$.

Нерастворенный воздух является одной из основных причин случайных изменений параметров гидропривода. Он влияет на пульсации давления в гидросистеме, случайным образом изменяет местные потери рабочей жидкости в дроссельных устройствах [4].

Модуль упругости жидкостно-воздушной смеси $E_{ж}$ рабочей жидкости в каждой полости гидроцилиндра при текущем значении давления p можно определить из выражения [3]

$$E_{ж} = E_{ж0} \frac{\frac{V_{ж0}}{V_{ж0} + 1} + \frac{V_{б0}}{V_{ж0} + V_{б0}}}{\frac{V_{ж0}}{V_{ж0} + V_{б0}} + \frac{V_{б0}}{V_{ж0} + V_{б0}}} \frac{p_0}{p^2},$$

При автоколебаниях скорости привода с частотой, близкой к собственной частоте гидромеханического привода (30 Гц), динамическая характеристика переливного клапана может быть заменена его статической характеристикой, а динамическая характеристика регулятора потока — статической линеаризованной характеристикой дросселя.

$$W_w = p_w(s)/Q_w(s) = \Delta p_w/\Delta Q_w = c_k,$$

$$W_n = p_n(s)/Q_n(s) = -\Delta p_n/\Delta Q_n = -c_d,$$

где $c_k = \Delta p_{k0}/\Delta Q_{kmax}$ — статистика переливного клапана, определяемый по его паспортной характеристике при уста-

новившемся давлении $\Delta p_{\text{ш0}}$; $c_a = 2p_{\text{ш0}}/Q_{\text{ш0}}$ — коэффициент линеаризованной характеристики дросселя для установившегося состояния гидропривода ($p_{\text{ш0}}$ и $Q_{\text{ш0}}$).

Тогда передаточная функция (1) записывается в следующем виде

$$W_{\text{rc}}(s) = - \frac{(A_{\text{ш}}^2 c_{\text{к}} + A_{\text{п}}^2 c_{\text{д}}) \left(\frac{A_{\text{ш}}^2 k_{\text{ш}} + A_{\text{п}}^2 k_{\text{ш}}}{A_{\text{ш}}^2 c_{\text{к}} + A_{\text{п}}^2 c_{\text{д}}} c_{\text{k}} c_{\text{d}} s + 1 \right)}{(1 + k_{\text{ш}} c_{\text{k}} s)(1 + k_{\text{п}} c_{\text{д}} s)}.$$

Введем обозначения:

$T_1 = k_{\text{ш}} c_{\text{k}}$ — постоянная времени напорной полости;

$T_2 = k_{\text{п}} c_{\text{д}}$ — постоянная времени сливной полости;

$T_3 = \frac{e^2 k_{\text{ш}} + k_{\text{п}}}{\frac{e^2}{c_{\text{k}}} + \frac{1}{c_{\text{д}}}}$ — постоянная времени, характеризующая демпфирование в приводе;

$k_0 = A_{\text{ш}}^2 (c_{\text{k}} + e^2 c_{\text{д}})$ — коэффициент передачи;

$e = A_{\text{п}}/A_{\text{ш}} = 2$ — отношение рабочих площадей гидроцилиндра.

Поскольку постоянная времени c_a во много раз больше, чем постоянная c_k ,

$T_3 \gg c_k (k_{\text{ш}} + 0,25 k_{\text{п}})$;

$k_0 \approx 4 A_{\text{ш}}^2 c_{\text{д}}$.

Тогда передаточную функцию $W_{\text{rc}}(s)$ можно записать в виде

$$W_{\text{rc}}(s) = - \frac{k_0 (T_3 s + 1)}{(T_1 s + 1)(T_2 s + 1)}.$$

Знак «минус» перед выражением передаточной функции указывает на то, что приращению скорости Δv соответствует снижение силы на величину $\Delta F = -k_0 \Delta v$. Передаточная функция механической системы W_{mc} с учетом динамической силы трения в соответствии с представленной структурной схемой имеет вид [1]

$$W_{\text{mc}}(s) = \frac{1}{ms + W_{\text{tp}}(s)},$$

где $W_{\text{tp}}(s)$ — передаточная функция трения, определяющая зависимость изменения силы трения в направляющих стола и гидроцилиндра при гармонических колебаниях скорости стола.

Сопоставление характеристик трения в направляющих стола и гидроцилиндре (рис. 3) позволяет сделать вывод, что характеристика суммарного трения в приводе подач в основном определяется силой трения резиновых уплотнений в гидроцилиндре, которая в области скоростей 0–300 мм/мин в 6–8 раз превышает силы трения в направляющих стола. В диапазоне малых скоростей стола (2–50 мм/мин) имеет место слабо возрастающая характеристика сил трения. При более высоких скоростях существует интен-

сивное падение силы трения с ростом скорости стола, причем в диапазоне 50–300 мм/мин наклон характеристики максимальный. Следовательно, в этом диапазоне скоростей имеется наибольшая вероятность потери устойчивости движения стола.

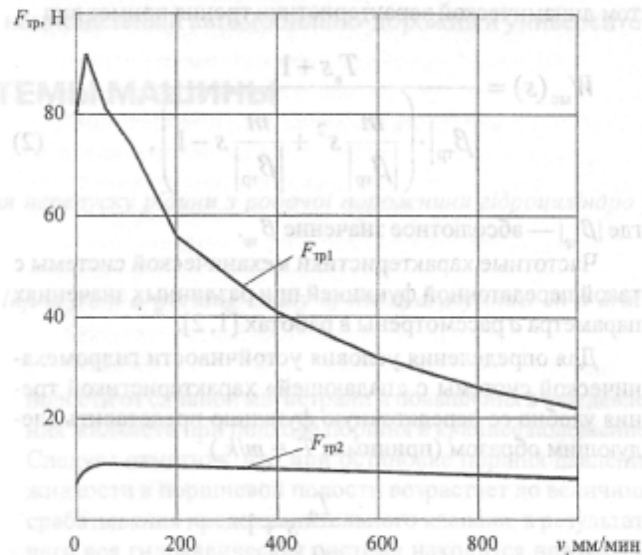


Рис. 3. Зависимость силы трения от скорости движения стола ($F_{\text{tp}1}$ — сила трения в уплотнениях гидроцилиндра; $F_{\text{tp}2}$ — сила трения в направляющих стола).

Коэффициент трения случайным образом зависит от параметров уплотнения. Для оценки влияния различных параметров используется зависимость [4]

$$f_{\text{tp}} = cp^{-\frac{2}{3}} v^{\frac{2}{5}} \mu^{-\frac{1}{6}},$$

где c — коэффициент, который зависит от материала контактирующих поверхностей; p — давление в уплотнении; v — скорость скольжения; μ — динамическая вязкость смазывающей жидкости.

Из-за рассеивания параметров значения коэффициента трения охватывают полосу случайных изменений, ширина которой находится в пределах $f_{\text{tp}} = 0,2\text{--}0,8$. Кроме того, изменение толщины масляной пленки и силы трения в манжетном уплотнении при изменении скорости происходит с некоторым запаздыванием, которое в зависимости от условий работы изменяется от нескольких десятых долей секунды до нескольких секунд.

Статическая характеристика трения описывается уравнением

$$F_{\text{tp}} = (F_{\text{tp}0} - \beta_{\text{tp}} v) \text{sign } v,$$

где β_{tp} — коэффициент наклона статической «падающей» характеристики трения.

Зависимость сил трения от скорости в неуставновившихся режимах при «падающей» статической характеристики трения может быть выражена передаточной функцией [1]

$$W_{\text{тр}}(s) = -\frac{\beta_{\text{тр}}}{(T_{\text{ср}}s + 1)},$$

где T — постоянная времени всплытия стола.

Передаточная функция механической системы с учетом динамической характеристики трения примет вид

$$W_{\text{mc}}(s) = \frac{T_b s + 1}{|\beta_{\text{tp}}| \cdot \left(\frac{m}{|\beta_{\text{tp}}|} s^2 + \frac{m}{|\beta_{\text{tp}}|} s - 1 \right)}, \quad (2)$$

где $|\beta_m|$ — абсолютное значение β_m .

Частотные характеристики механической системы с такой передаточной функцией при различных значениях параметра a рассмотрены в работах [1, 2].

Для определения условия устойчивости гидромеханической системы с «падающей» характеристикой удобно ее передаточную функцию представить следующим образом (принимая $T_s = m/k_s$)

$$W_{mc}(s) = \frac{\frac{T_0}{a}s + 1}{\left| \beta_{tp} \right| \cdot \left[\left(\frac{T_0}{\sqrt{a}} \right)^2 s^2 + 2\xi \frac{T_0}{\sqrt{a}} s - 1 \right]}. \quad (3)$$

С помощью передаточной функции (3) можно получить алгоритмы для динамических расчетов на ЭВМ, а также определить частотные характеристики и условие устойчивости привода. Для инженерных расчетов условие

вие устойчивости можно выразить в виде допустимой крутизны «падающей» характеристики трения, например,

Выводы

На основании проведенных исследований может быть сделан вывод, что автоколебания в приводе подачи стола порождаются податливостью гидросистемы в сочетании с «падающей» характеристикой трения. Запас устойчивости может быть увеличен как за счет повышения жесткости гидропривода (увеличение площади штоковой полости), так и за счет улучшения трибологических характеристик (применение новых эластичных уплотнений гидроцилиндра и антискаковых смазок для направляющих стола).

Литература

1. Коробочкин, Б.Л. Динамика гидравлических систем станков. — М.: Машиностроение, 1976. — 240 с.
 2. Иванов, Г.М., Ермаков, С.А., Коробочкин, Б.Л., Пасынков, Р.М. Проектирование гидравлических систем машин. — М.: Машиностроение, 1992. — 224 с.
 3. Лещенко, В.А. Гидравлические следящие приводы для станков с программным управлением. — М.: Машиностроение, 1975. — 288 с.
 4. Струтинський, В.Б. Стохастичні процеси у гідроприводах верстатів: Монографія. — Одеса: Астропрінт, 2009. — 456 с.

Надійшла 15.04.2011 р.